



12/29 IB-GS-9300.- Panorámica de un berrocal de cuarzodiorita.



12/29 IB-GS-9301.- Cuarzodiorita deformada. Detalle.



12/29 IB-GS-9302.- Cuarzodiorita deformada. Detalle.



12/29 IB-GS-9303.- Cuarzodiorita deformada, Detalle.



12/29 IB-GS-9304.- Detalle del granito de dos micas de Montán  
chez deformado.



12/29 IB-GS-9305.- Detalle del granito de dos micas de Montán  
chez deformado.



12/29 IB-GS-9306.- Detalle del granito con dos deformaciones.



12/29 IB-GS-9307.- Dique de aplita en contacto con el granito.



12/29 IB-GS-9308.- Granito porfídico de Albalá.



12/29 IB-GS-9309.- Granito porfídico de Albalá.



12/29 IB-GS-9310.- Granito Porfídico de Albaldá.



12/29 IB-GS-9311.- Panorámica de la penillanura Precámbrica desde el Pico de Montánchez.

12/29 IB-GS-9312.- Granito de dos micas de grano grueso fuere  
temente deformado. Pico de Montánchez.





12/29 IB-GS-9313.- Granito de dos micas de grano grueso fuertemente deformado. Pico de Montánchez.



12/29 IB-GS-9314.- Granito de dos micas de grano grueso fuertemente deformado. Pico de Montánchez.



12/29 IB-GS-9315.- Granito de dos micas de grano grueso fuertemente deformado.



12/29 IB-GS-9316.- Cuarzodiorita típica con sus enclaves biotíticos muy corrientes.



12/29 IB-GS-9317.- Cuarzodiorita típica con sus enclaves biotíticos muy corrientes.



12/29 IB-GS-9318.- Aspecto de un dique de diabasas en las cuar  
zodioritas.



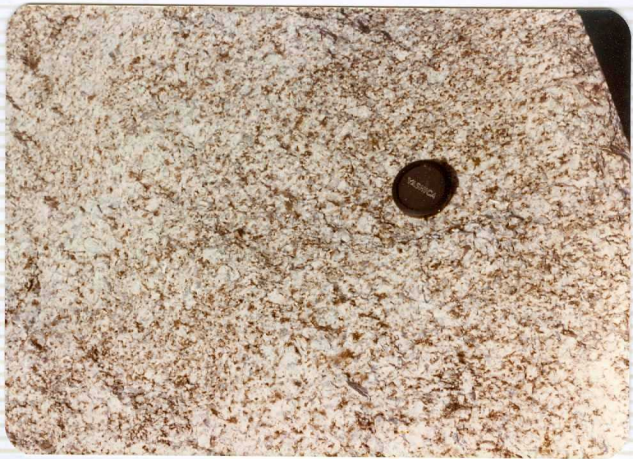
12/29 IB-GS-9319.- Detalle de una diabasa fresca.



12/29 IB-GS- 9320.- Berrocal común de las cuarzodioritas.



12/29 IB-GS-9321.- Leucogranito moscovítico de grano grueso  
la serie Calcoalcalina.



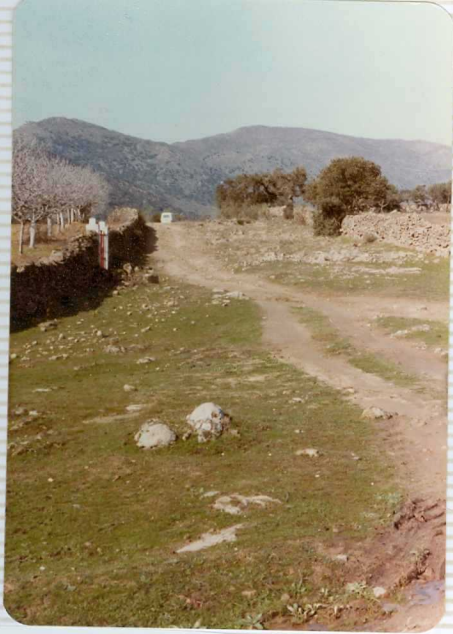
12/29 IB-GS-9322.- Leucogranito moscovítico de grano medio.



12/29 IB GS-9323.- Pórfido Leucogranítico. Detalle.



2/29 IB-GS-9324.- Pórfido leucogranítico. Detalle.



12/29 IB GS-9325.- Panorámica del tipo de afloramiento más común del porfido leucogranítico.



12/29 IB-GS-9326.- Pizarras del Precámbrico con metamorfismo de contacto.